

# 金屬腐蝕研究

復旦大學化學系電化學教研組 編譯

上海圖書出版社

## 內容 提 要。

本书收集了苏联科学院“金属腐蚀的研究”、“金属腐蚀与防护問題”、“化学工艺的方法与过程”等书发表的七篇論文的譯文。这些論文对近代腐蚀理論、研究腐蚀的方法以及某些具体腐蚀問題都作了較深入的論述，可供研究机关、学校、工厂从事电化学和金属腐蚀的工作者参考。

## 金屬腐蝕研究

复旦大学化学系电化学教研組 編譯

\*

上海科学技术出版社出版

(上海瑞金二路450号)

上海市书刊出版业营业許可证出093号

新华书店上海发行所发行 各地新华书店經售

上海市印刷五厂印刷

开本 850×1168 1/32 印張 6 16/32 字數 171,000

1960年11月第1版 1960年11月第1次印刷

印数 1—3,500

統一书号：13119·402

定 价：(十二)0.92元

## 目 录

### 前言

### 在氧化性介质中的不可逆电极电位

.....	Г. В. Акимов 和 О. Г. Дерягина	(1)
一、方法.....		(3)
二、結果討論.....		(4)
三、溶液中加有氧化剂时金属电极电位的变化.....		(21)
四、加有混杂物的金属的电极电位的变化.....		(25)
五、結論.....		(28)

### pH对金属腐蚀稳定性与稳定电位的影响

.....	А. Я. Шаталов	(31)
一、腐蝕-pH曲線上的最小点.....		(33)
二、扩散因素对于腐蝕稳定性的影响.....		(34)
三、氯离子浓度的影响.....		(35)
四、腐蝕速度与 pH 关系的数学表示.....		(35)
五、在緩冲溶液中的腐蝕.....		(36)
六、pH 对金属稳定电位的影响.....		(36)
七、在不同 pH 的溶液中金属腐蝕和稳定电位的关系.....		(39)
八、結論.....		(40)

### 铁的腐蝕抑制剂——氢氧化鐵

.....	Н. Н. Балашова 和 Н. Д. Томашов	(42)
用电导法研究金属上的保护膜		

.....	Г. Б. Кларк 和 Г. В. Акимов	(49)
一、測量方法.....		(53)
二、天然及人工氧化膜.....		(55)
三、几种膜形成的动力学.....		(62)
四、硫化氢对氧化膜的作用.....		(63)

五、特种膜.....	(67)
六、钝化表面上的膜.....	(70)
七、膜的击穿及以汞潤湿表面.....	(71)
八、膜的电性质和金属在周期表中的位置.....	(72)
九、結論.....	(73)
附表 1~26.....	(76)

### 化学工业中的金属腐蝕

..... Н. Д. Томашов (105)

一、金属腐蝕的理論基础.....	(105)
二、以铁为主体的化学稳定合金.....	(117)
三、化学稳定的非铁金属和合金.....	(133)
四、化学耐蝕合金的若干新应用.....	(141)
五、化学工业中防腐斗争的展望.....	(146)

### 鋼的海洋腐蝕

..... В. Ф. Негреев (164)

一、海洋大气腐蝕.....	(164)
二、受到海水間断潤湿部分的腐蝕.....	(167)
三、完全浸入海水部分的腐蝕.....	(170)
四、抗蝕方法.....	(172)

### 钛、鋯及不銹鋼在无机酸及无机氯化物中的耐蝕性

..... Lex B. Golden 等 (176)

一、在无机酸中的耐蝕性.....	(176)
二、在无机氯化物中的耐蝕性.....	(188)

# 在氧化性介质中的不可逆电极电位

Г. В. Акимов 和 О. Г. Дерягина

对氧化性介质中的不可逆电极电位进行研究是有很大意义的,因为在这些条件下,腐蚀过程具有某些特点<sup>[1-3]</sup>。

例如,已經知道,假若腐蚀过程和氧化剂的去极化作用一起进行<sup>[1-5]</sup>,則金属结构的不均匀性在許多場合下对腐蚀速度的影响很小。基于这一特点建立了相似过程机理的不正确概念,认为在氧化性介质中,腐蚀仅仅是金属的简单的化学氧化,而腐蚀过程的速度则由氧化剂到金属表面的扩散速度所决定。

Г. В. Акимов<sup>[6]</sup> 和 Н. Д. Томашов<sup>[8]</sup> 认为必須用微电池的观点,来研究金属在氧化性介质中的腐蚀作用。

对结构因素在氧化剂中进行的腐蚀过程的影响加以研究后指出,结构的組成影响腐蚀速度,就是在腐蚀过程和氧化剂的去极化作用一起进行时也是如此,而且在某些条件下,结构因素对氧化性介质中腐蚀速度的影响比非氧化性介质中的影响大許多倍<sup>[7]</sup>。

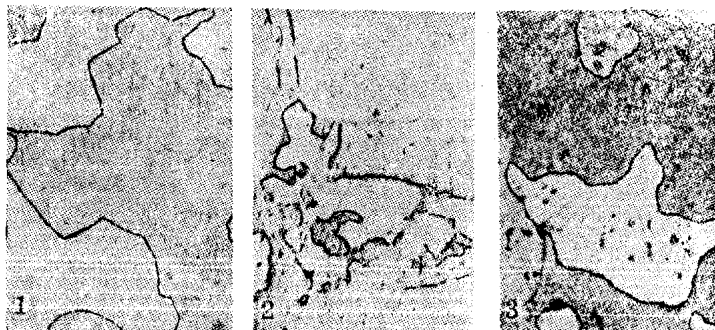


图 1 铝(左)  $\text{Al} + 2\%$  Fe 合金(中)和杜拉铝(右)的显微  
结构, 放大 285 倍

这一工作的目的是研究多种金属在氧化剂溶液中的不可逆电极电位以及在这些介质中的腐蚀速度。

已經研究了高純度的鋁、鐵、鋅、鎘、銅、鉛和相应合金：鋁-鐵(2%Fe), 鋅-鐵(2%Fe), 鎘-銅(0.5%Cu), 鉛-銀(0.5%Ag), 生鐵和銅-金(0.5%Au) 在  $3N$  HCl+ $0.3M$   $H_2O_2$ ,  $3N$  HCl+ $2N$  KNO<sub>3</sub>, 3%NaCl+ $0.3M$   $H_2O_2$  和 10%  $(NH_4)_2S_2O_8$  溶液中的电极电位。所研究的金属的显微结构見图 1~5。

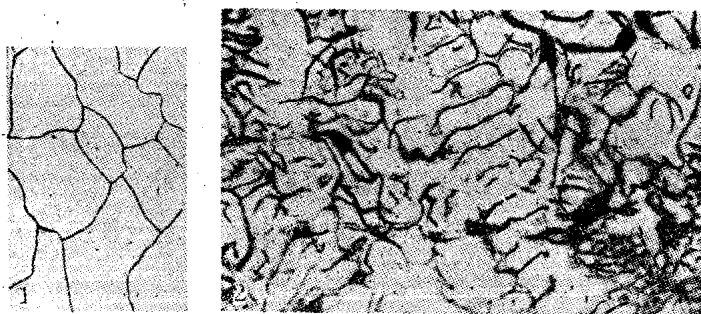


图 2 高純度铁(左)和生铁(右)的显微结构, 放大 285 倍

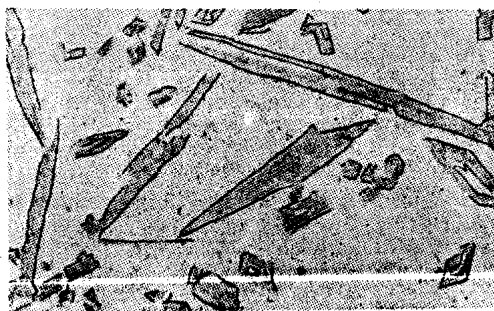


图 3 Zn+2%Fe 合金的显微结构, 放大 285 倍

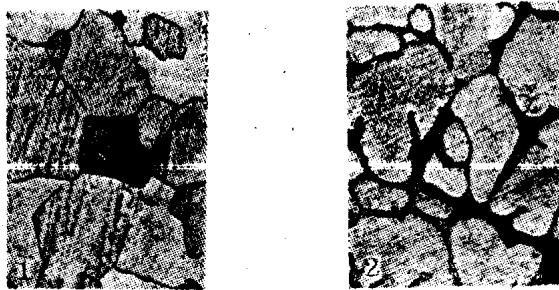


图 4 錫(左)和 Cd+0.5%Cu 合金(右)的显微结构, 放大 65 倍

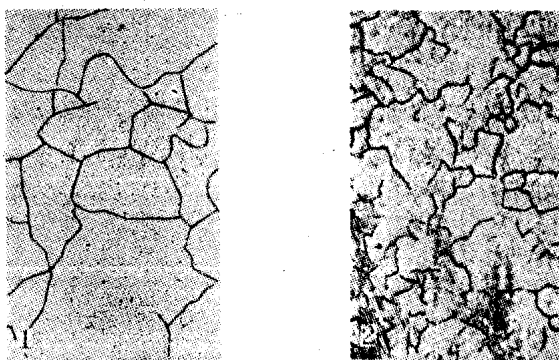


图 5 铅(左)和 Pb+0.5%Ag 合金(右)的显微结构, 放大 285 倍

## 一、方 法

将試样固定在聚苯乙烯环中, 以鋼石粉 ( $\text{Al}_2\text{O}_3$ ) 抛光, 用酒精去脂和洗涤, 然后用滤纸擦干后放到干燥器中放置 8~10 小时。測量在很大体积的溶液中 (100~150 毫升, 試样表面 1 厘米<sup>2</sup>) 进行, 温度 18~20°C, 并搅拌溶液。以标准甘汞半电池为参考电极。

发生在 1N KCl | 3N HCl 界面的扩散电位达到很大的数值 ( $\epsilon_g = 40$  毫伏)\*。

添加 HCl, KNO<sub>3</sub> 或 H<sub>2</sub>O<sub>2</sub> 没有显著地改变扩散电位, 因为 K<sup>+</sup>

\* 按 Гендерсон 公式計算的扩散电位。

和  $\text{NO}_3^-$  离子的淌度很接近，而  $\text{H}_2\text{O}_2$  則是解离度很小的化合物。发生在  $0.5 \text{ N NaCl} + 1\text{N KCl}$  界面的扩散电位等于 4.4 毫伏，发生在  $10\% (\text{NH}_4)_2\text{S}_2\text{O}_8 + 1\text{N KCl}$  界面的扩散电位等于 1.5 毫伏。

尽管在某些場合下扩散电位的数值是显著的，但我們认为可以不考慮它們，因为我們現在的主要兴趣是，当金属中加入混杂物后金属在溶液中电极电位的改变情况（即純金属及其合金在相同溶液中的电位差），或者是由非氧化性介质轉变为含有氧化剂介质时金属或合金的电极电位的改变情况。已經指出，加入氧化剂不应显著地改变扩散电位。

要測量金属在  $\text{HCl} + \text{H}_2\text{O}_2$  和  $\text{NaCl} + \text{H}_2\text{O}_2$  溶液中的电极电位，可以先測量金属在  $\text{HCl}$  和  $\text{NaCl}$  中的电位。为了避免金属表面发生显著变化，亦即由于腐蝕而引起的阴极和阳极面积比例的显著变化，測量要在短時間內进行（特别是在  $\text{HCl}$  中）。然后用移液管迅速加入为达到  $0.3 \text{ M}/升$ 濃度所需的过氧化氢的量。在 15~60 分钟內重新測定电极电位，所需時間視金属在溶液中的腐蝕速度而定。以更長時間測量电极电位沒有意义，因为介质是强触性的，且阴极区和阳极区的比例急剧地隨着時間而变化。

## 二、結果討論

表 1 列举了所研究的金属和合金在氧化性介质中的电极电位值，这些数值是實驗开始后 1 和 5 分钟內測得的；表 1 也列举了實驗終止时电位的数值。在大多数場合下，實驗終止时金属的电极电位  $\varepsilon$  已經达到在該溶液中的稳定值，或仅仅緩慢地隨着時間而变化。列举在表 1 的电位值是对标准氫电极而言的。

图 6~9 表明铁、生铁、鋅、鎘銅合金、銅、銅金合金、鉛、鉛銀合金在  $\text{HCl}$  和  $\text{HCl} + \text{H}_2\text{O}_2$  溶液中的电位隨时间变化的情形。

在盐酸中，所有金属的电位建立得很快，腐蝕过程在恒定电位时进行。加入过氧化氢会使电位立刻向正方向改变。加入过氧化氢后的电位跃以  $\Delta\varepsilon$  表示，无论对純金属或其合金， $\Delta\varepsilon$  大約相等，且达到相当大的数值： 100~300 毫伏（鉛銀合金是例外，它在

HCl + H<sub>2</sub>O<sub>2</sub> 溶液中的电位比纯铂正了许多)。

纯金属、铜金合金和铅银合金的电位，在加入过氧化氢后显著改变，而后又很快地转到恒定数值，且不再改变。在 HCl + H<sub>2</sub>O<sub>2</sub> 中发生腐蚀的生铁和镍铜合金，在腐蚀过程中，其电位逐步地移向正方向。

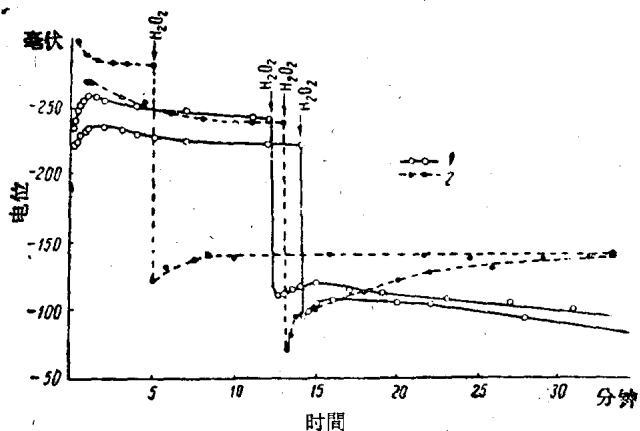


图 6 化学纯铁(2)和生铁(1)在 3N HCl 及 HCl + H<sub>2</sub>O<sub>2</sub> 溶液中的电位-时间曲线

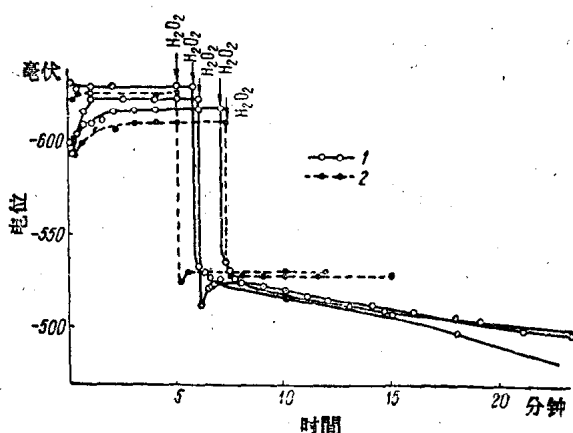


图 7 镍(2)和镍铜合金(1)在 3N HCl 和 3N HCl + 0.3M H<sub>2</sub>O<sub>2</sub> 溶液中电位-时间曲线

表 1 在氧化性介质中金属半极电位的变化  
(与标准氯电极相比,以负的毫伏数表示)

金属和合金	3 N HCl			3 N HCl + 0.3 M H <sub>2</sub> O <sub>2</sub>			3 N HCl + 2 N KNO <sub>3</sub>			3% NaCl			3% NaCl + 0.3 N H <sub>2</sub> O <sub>2</sub>			10% (NH <sub>4</sub> ) <sub>2</sub> SO <sub>4</sub>			
	1分钟	3-5分钟	5分钟	1分钟	5分钟	5分钟	1分钟	5分钟	5分钟	1分钟	6分钟	6分钟	1分钟	5分钟	30分钟				
铝	—	—	—	641	648	647	545	546	544	513	520	426	466	480	+200	+315	+200	+255	
	685	672	667	658	658	658	548	548	549	510	465	420	491	495	+302	+302	+255	+254	
	669	662	652	653	653	652	—	—	—	620	527	493	411	440	+372	+372	+302	+302	
	650	649	643	649	649	649	—	—	—	—	520	472	471	420	+155	+155	+68	+68	
	642	—	—	—	—	—	—	—	—	—	—	—	—	—	+280	+280	+92	+92	
	—	5分钟	—	644	638	—	558	551	551	482	488	436	447	447	+27	+27	+22	+22	
铜铝合金	646	652	—	640	631	—	555	552	549	542	542	435	446	450	+26	+26	+38	+38	
	648	656	—	640	628	—	549	547	547	543	543	399	445	450	+22	+22	+6	+80	
	647	649	—	640	628	—	—	—	—	—	—	—	—	—	+107	+107	+8	+107	
	—	—	—	—	—	—	—	—	—	—	—	—	—	—	+46	+46	+146	+146	
	—	3分钟	—	644	638	—	558	551	551	482	488	436	447	447	+4	+4	+27	+27	
	—	5分钟	—	644	638	—	558	551	551	482	488	436	447	447	+27	+27	+22	+22	
杜拉铜	531	506	—	499	496	496	425	425	405	—	383	297	285	285	—	—	—	—	
	501	487	—	480	480	477	412	405	400	501	436	271	271	271	—	—	—	—	
	504	486	486	480	480	480	446	411	402	511	365	361	302	290	—	—	—	—	
	—	—	—	—	—	—	—	—	—	550	442	442	289	264	302	—	—	—	
	—	—	—	—	—	—	—	—	—	569	382	388	328	328	328	—	—	—	
	—	5分钟	—	499	496	496	425	425	405	—	383	297	285	285	—	—	—	—	
铁	287	280	287	89	113	138	159	272	225	216	165	242	52	89	104	230	229	*232	
	266	252	—	—	—	145	273	231	214	158	—	335	44	79	128	212	220	292	
	—	—	—	—	—	—	—	—	—	160	222	830	63	83	8	218	218	285	
	—	—	—	—	—	—	—	—	—	—	—	—	—	—	—	—	—	—	
	—	226	220	104	104	67	228	219	211	290	350	370	78	84	145	120	+271	+271	
	238	226	220	111	114	86	225	215	212	269	305	367	101	102	141	120	+280	+280	
生铁	257	247	240	—	—	—	—	—	—	—	295	295	840	99	99	99	140	140	+320
	—	—	—	—	—	—	—	—	—	—	—	—	—	—	—	69	69	69	

附注：数字前没有记号的表示是负号。

锌	872	—	707	707	—	—	—	—	—	—	—	—	—	—	—
	874	846	846	707	705	—	—	—	—	—	—	—	—	—	—
铝 镁合金	878	845	845	843	843	—	—	—	—	—	—	—	—	—	—
	863	—	—	—	—	—	—	—	—	—	—	—	—	—	—
铜 镍合金	816	765	647	605	678	685	531	549	549	547	546	540	—	—	—
	817	768	645	557	598	654	681	558	558	558	558	558	—	—	—
5分钟	848	845	709	668	568	554	546	547	538	—	—	—	—	—	—
	639	639	568	571	571	555	549	549	537	—	—	—	—	—	—
铜	654	655	—	—	—	—	—	—	—	—	—	—	—	—	—
	652	652	646	665	665	567	531	328	293	282	535	635	—	—	—
铜 镍合金	658	658	646	667	667	558	520	831	321	820	536	536	—	—	—
	145	145	—	—	—	—	—	—	—	—	—	—	—	—	—
铅	145	—	—	—	—	—	—	—	—	—	—	—	—	—	—
	149	209	229	109	120	+129	933	329	826	+74	69	+58	+280	+307	+324
铅 锡合金	178	164	80	+115	+115	208	146	143	+61	+75	+75	+75	+334	+364	+380
	68	101	106	+107	+112	+117	319	320	+45	+50	+55	+55	+285	+246	+373
铅	66	100	102	+108	+116	+120	237	271	+46	+58	+57	+57	+937	+952	+917
	107	115	115	+107	+103	+117	159	144	188	+16	+15	+14	+40	+430	+467
铅 锡合金	315	337	359	323	826	+326	934	362	362	298	298	298	—	—	—
	346	365	365	386	345	347	945	357	357	265	265	265	—	—	—
铅 锡合金	328	355	—	—	—	—	—	—	—	—	—	—	—	—	—
	370	991	392	276	275	150	350	363	363	273	286	286	+184	+48	+100
铅 锡合金	365	364	384	145	76	35	860	865	865	285	281	282	+54	+78	+128
	296	340	364	13	+8	+8	345	359	360	247	288	248	+160	+95	+143
铅	425	982	382	257	253	160	—	—	—	252	252	252	+118	+125	+165
	360	979	382	260	220	—	—	—	—	—	—	—	—	—	—

图 8 铜(2)和铜合金(1)在 3N HCl 及  $HCl + H_2O_2$  溶液中的电位-时间曲线

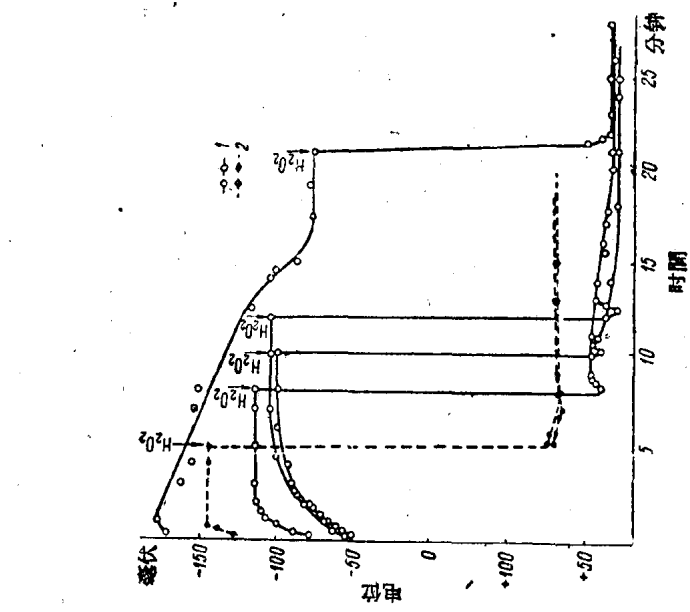
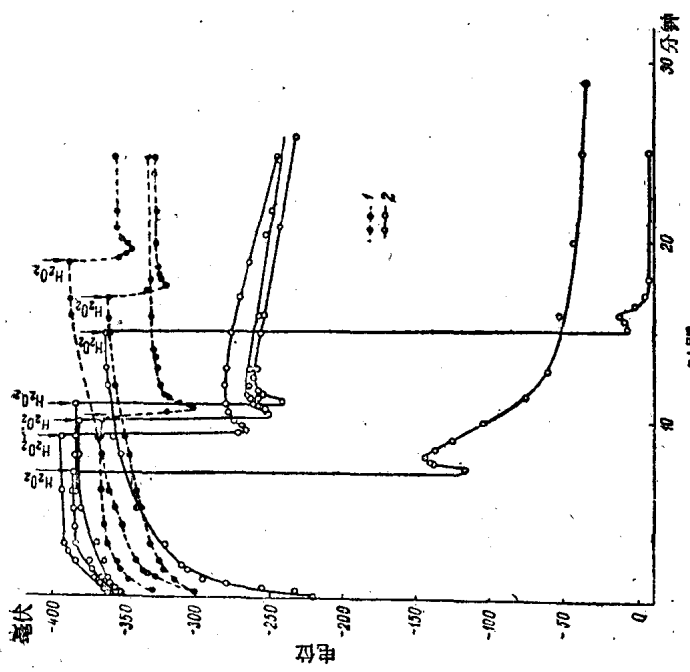


图 9 铅(1)和铅银合金(2)在 3N HCl 和  $HCl + H_2O_2$  溶液中的电位-时间曲线



曾經觀察到某些合金在其他溶液中電位隨時間而增加（見圖17, 26~29）。這不可以用心屬轉變為更鈍性狀態來解釋，因為這時合金有明顯的破壞。按照我們的意見，電位逐漸變到正方向，是因為腐蝕的金屬表面上陰極相增加的緣故。

圖10表明鋅和鋅鐵合金的電位變化。對於鋅鐵合金，當加入過氧化氫的瞬間，沒有觀察到顯著的電位躍，這可以因為該合金在純鹽酸中的電位很快下降。

上述合金在  $HCl + H_2O_2$  中的腐蝕速度很大（30~40毫克/厘米<sup>2</sup>·分），同時陰極相和陽極相面積的比例變化很快：腐蝕開始後經過2~3分鐘，金屬間杂质  $FeZn_7$  几乎復蓋了整個試樣表面。因此，在  $HCl + H_2O_2$  中建立的電位，顯然相當於或十分接近於  $FeZn_7$  在該溶液中的電位。

圖11和12列舉了鋁、鋁鐵合金和鋁銅合金（杜拉鋁）的相類似曲線。必須注意，當過氧化氫加到鹽酸中去，這些金屬的電位改變得很小（2~10毫伏）。

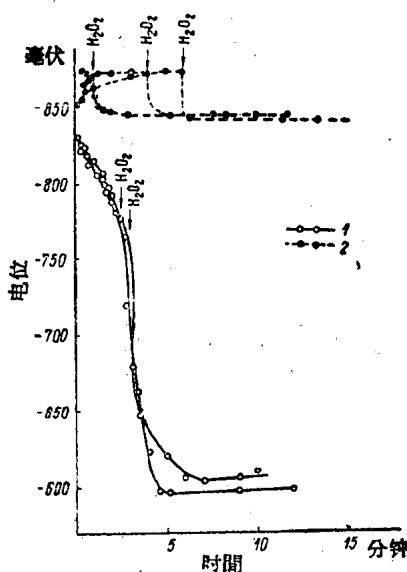


圖10 鋅(2)和鋅鐵合金(1)在3N  $HCl$  和  $HCl + H_2O_2$  溶液中的電位-時間曲線

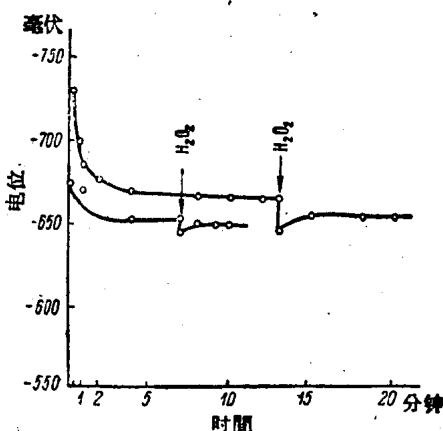


圖11 化學純鋁在3N  $HCl$  和  $HCl + H_2O_2$  溶液中的電位-時間曲線

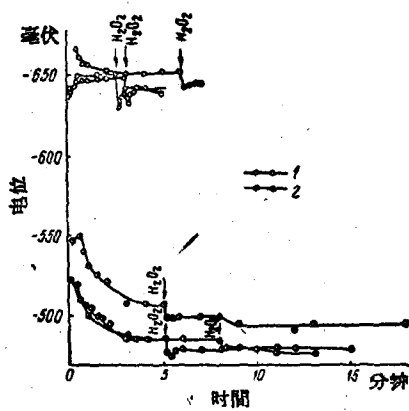


图 12 鋁鐵合金(1)和杜拉鋁(2)在 3N  
HCl 和 3N HCl+0.3M H<sub>2</sub>O<sub>2</sub>  
溶液中的電位-時間曲線

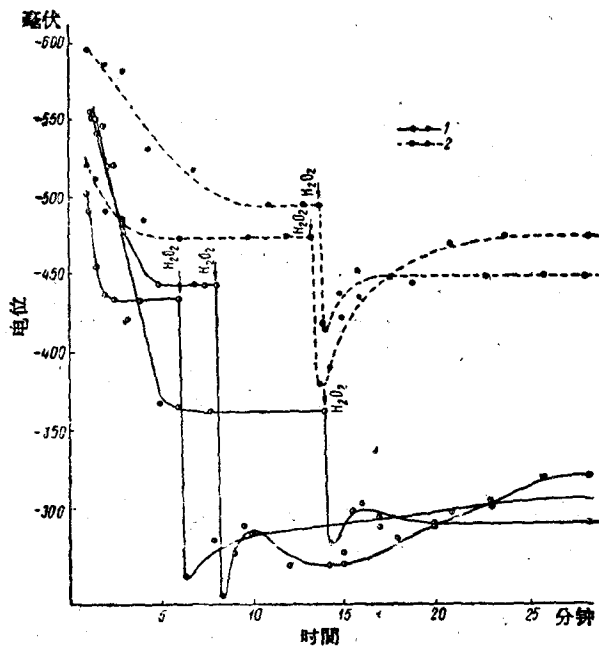


图 13 鋁(2)和杜拉鋁(1)在 3% NaCl 和 3% NaCl+0.3M  
H<sub>2</sub>O<sub>2</sub> 溶液中的電位-時間曲線

鋁(和它的合金)在  $HCl$  和  $HCl+H_2O_2$  溶液中的电位很接近, 可以假定过氧化氢的去极化作用是和氢的析出过程同时进行的, 但在实验中没有得到证实。

若起始溶液是  $NaCl$ , 那么在溶液中加入  $H_2O_2$  后金属的电位跃, 比起始溶液是盐酸时要大得多。图 13 和 14 表明鋁及其合金在  $NaCl$  和  $NaCl+H_2O_2$  溶液中电位的变化。与用盐酸时不同, 在这一場合下, 鋁、鋁铁合金和杜拉鋁的  $\Delta\epsilon$  达到  $100\sim150$  毫伏。

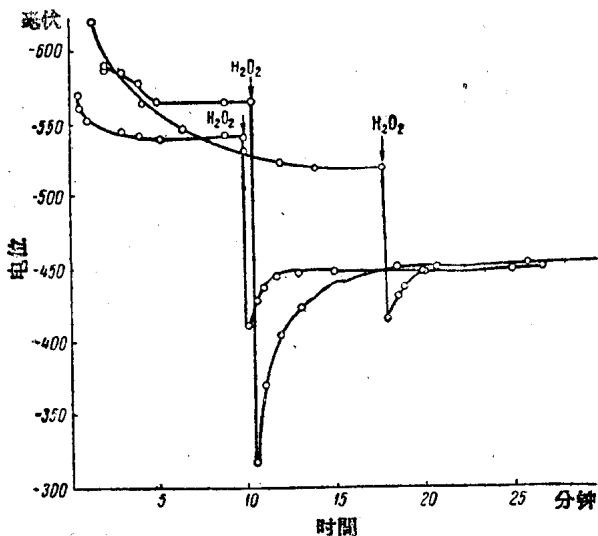


图 14 鋼鐵合金在  $3\%$   $NaCl$  和  $3\%$   $NaCl+0.3M H_2O_2$  溶液中的电位-时间曲綫

图 15~19 表示铁、锌、镉、铜、铅及其合金的电位-时间曲綫。这些金属及其合金在  $NaCl$  中的  $\Delta\epsilon$  和在盐酸中的  $\Delta\epsilon$  一样, 差别很小, 铅和铅银合金是例外。铅银合金的  $\Delta\epsilon$  比铅的电位跃大  $2\sim3$  倍(有过氧化氢存在时, 见图 19)。

镉铜合金在  $NaCl+H_2O_2$  溶液中的电位, 由于試样表面上阴极相的增加, 很快地变到正方向(图 17)。

最后必须指出, 在  $HCl$  和  $NaCl$  中加入过氧化氢后, 所有金属的腐蚀速度都增大了許多倍, 数据列于表 2。

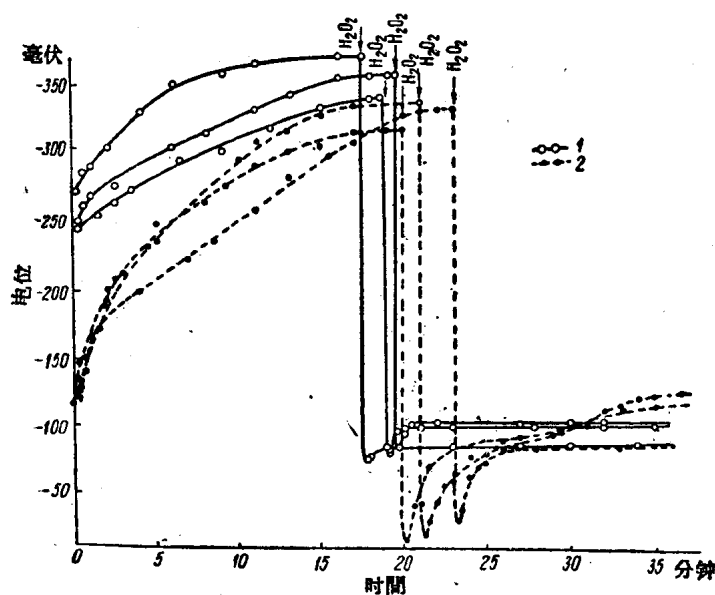


图 15 生铁(1)和铁(2)在 3% NaCl 和  $HCl+H_2O_2$  溶液中的电位-时间曲线

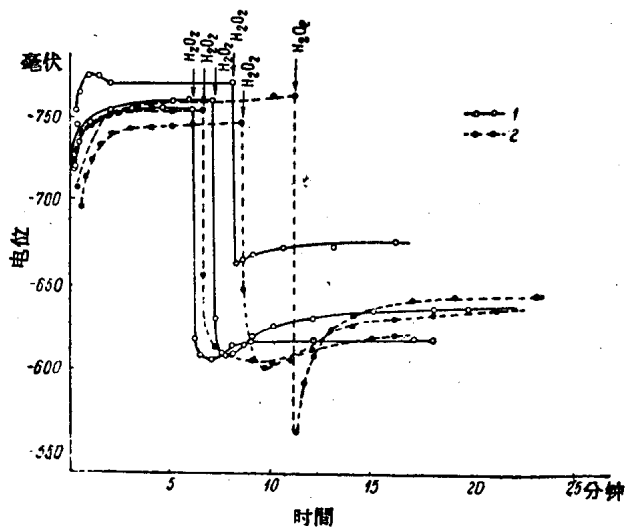


图 16 锌(2)和锌铁合金(1)在 3% NaCl 和 3% NaCl+0.3M  $H_2O_2$  溶液中的电位-时间曲线

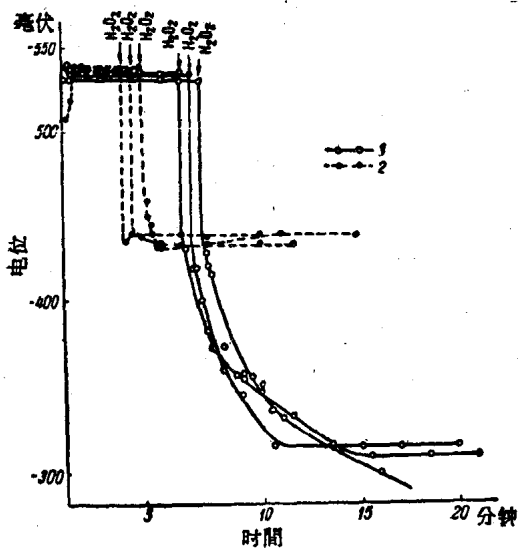


图 17 錫(2)和錫銅合金(1)在加了 $H_2O_2$ 的3%NaCl溶液中的电位-时间曲綫

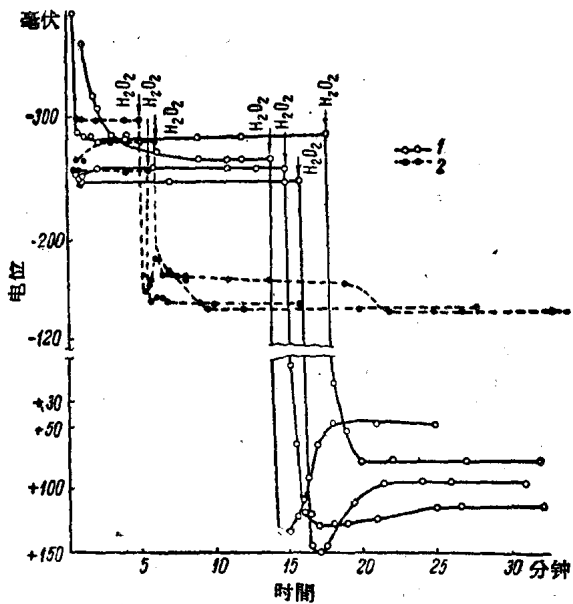


图 18 鉛(2)和鉛銀合金(1)在3% NaCl 和 NaCl+H<sub>2</sub>O<sub>2</sub> 溶液中的电位-时间曲綫